

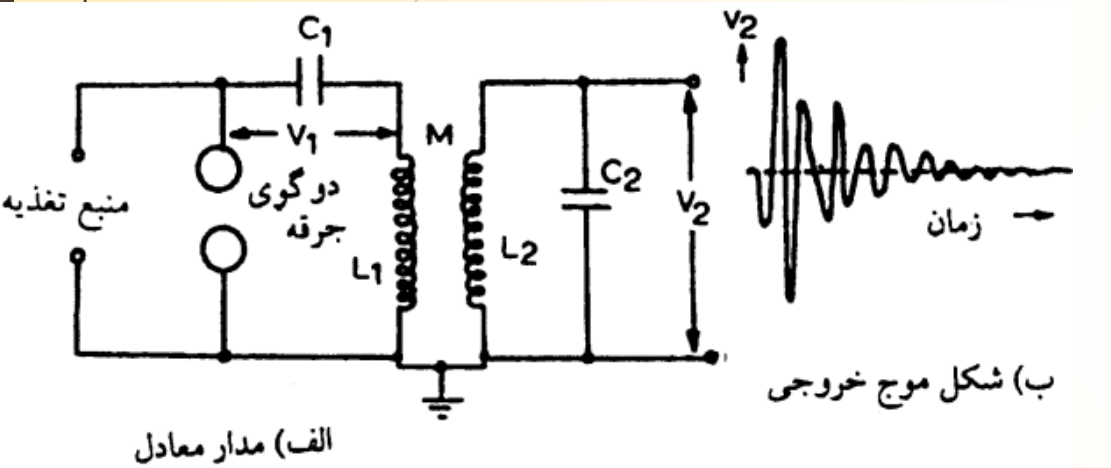
به نام خدا

عایق و فشار قوی

فصل پنجم
تولید ولتاژهای فشارقوی

از ولتاژ فشار قوی با فرکانس زیاد، برای تغذیه چند برابر کننده‌های ولتاژ DC استفاده می‌شود. همچنین در آزمایش تجهیزات الکتریکی در برابر امواج کلیدزنی، ترانسفورماتورهای ولتاژ بالا با فرکانس زیاد مورد نیاز هستند. معمول‌ترین ترانسفورماتور تشدید در فرکانس زیاد، سیم پیچ تسلا است. این مدار از دو مدار تشدید قابل تنظیم مطابق شکل (۱۹-۸) تشکیل می‌شود.

این مدار معمولاً برای ولتاژ اولیه حدود 10kV و ولتاژ ثانویه از 500 تا 1000kV ساخته می‌شود. سیم پیچ اولیه توسط یک منبع AC یا DC و از طریق خازن C_1 تغذیه می‌شود. یک فاصله هوایی G دو سر سیم پیچ اولیه قرار دارد که برای ولتاژ مطلوب V_1 تنظیم می‌شود. با تخلیه این فاصله هوایی، ولتاژ خودالقایی زیادی در L_1 به وجود می‌آید. سیم پیچ‌های اولیه L_1 و L_2 بر روی عایقی بدون هسته پیچیده می‌شوند و در روغن قرار می‌گیرند. فرکانس تشدید سیم پیچ‌ها با خازن C_1 و C_2 برای فرکانس‌های ۱۰ تا 100 کیلوهرتز تنظیم می‌شود. ولتاژ خروجی V_2 تابعی از پارامترهای L_1 ، L_2 ، C_2 و اندوکتانس متقابل M است. معمولاً مقاومت سیم پیچ‌ها اندک است و تنها در میراکردن نوسانات نقش دارد. با صرف نظر کردن از این مقاومت‌ها، می‌توان مدار را به سادگی تحلیل کرد. فرض کنید در هنگام تخلیه، فاصله هوایی به مقدار V_1 شارژ شده باشد و در این حال گذر جریان ناز اولیه (I_1)، جریان I_2 در L_2 و C_2 به وجود آورده است. آنگاه:



شکل (۱۹-۸): مدار معادل و شکل موج خروجی مدار سیم پیچ تسلا

$$V_1 = \frac{1}{C_1} \int_0^t i_1 dt + L_1 \frac{di_1}{dt} + M \frac{di_2}{dt} \quad (30-8)$$

$$\bullet = \frac{1}{C_2} \int_0^t i_2 dt + L_2 \frac{di_2}{dt} + M \frac{di_1}{dt}$$

تبدیل لاپلاس معادلات اخیر به صورت زیر است:

$$\frac{V_1}{S} = \left[L_1 S + \frac{1}{C_1 S} \right] I_1(s) + M S I_2 \quad (31-8)$$

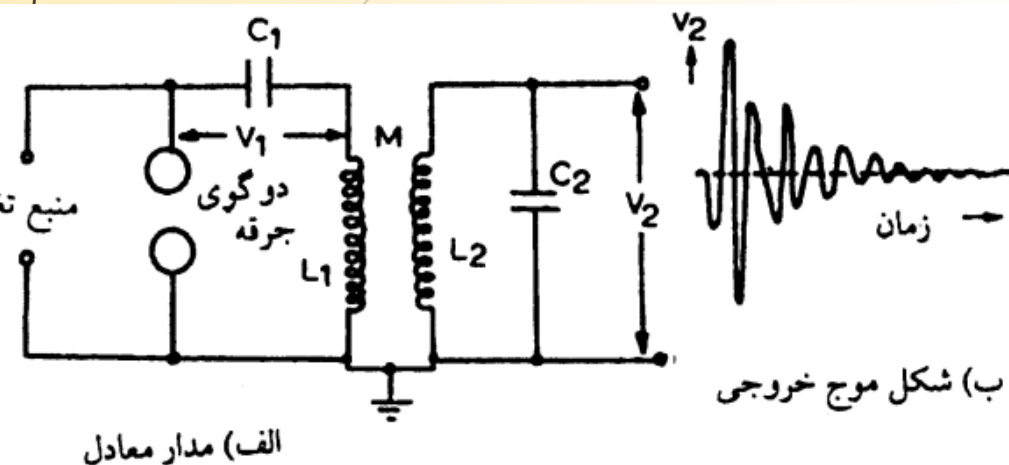
$$\bullet = \left[L_2 + \frac{1}{C_2 S} \right] I_2(s) + M S I_1$$

در این رابطه، $I_1(s)$ و $I_2(s)$ تبدیل لاپلاس i_1 و i_2 هستند. ولتاژ خروجی V_2 در دو سر خازن C_2 مدار آزمایش از:

$$V_2 = \frac{1}{C_2} \int i_2 dt$$

$$V_2(s) = \frac{I_2(s)}{C_2 S} \quad (32-8)$$

در این رابطه $V_2(s)$ تبدیل لاپلاس V_2 است. با حل V_2 از معادلات فوق داریم:



شکل (۱۹-۸): مدار معادل و شکل موج خروجی مدار سیم پیچ تسلا

در این رابطه $V_2(s)$ تبدیل لاپلاس V_2 است. با حل V_2 از معادلات فوق داریم:

$$V_2 = \frac{M V_1}{\sigma L_1 L_2 C_1} \cdot \frac{1}{\gamma_2^2 - \gamma_1^2} [\cos(\gamma_1 t) - \cos(\gamma_2 t)] \quad (33-8)$$

که،

$$\sigma = \sqrt{1 - \frac{M^2}{L_1 L_2}} = \sqrt{1 - k^2}$$

ضریب کوپلائز L_2, L_1, k است و،

$$\gamma_1, \gamma_2 = \frac{\omega_1^2 + \omega_2^2}{2} \pm \sqrt{\left(\frac{\omega_1^2 + \omega_2^2}{2}\right)^2 - \omega_1^2 \cdot \omega_2^2 (1 - k^2)}$$

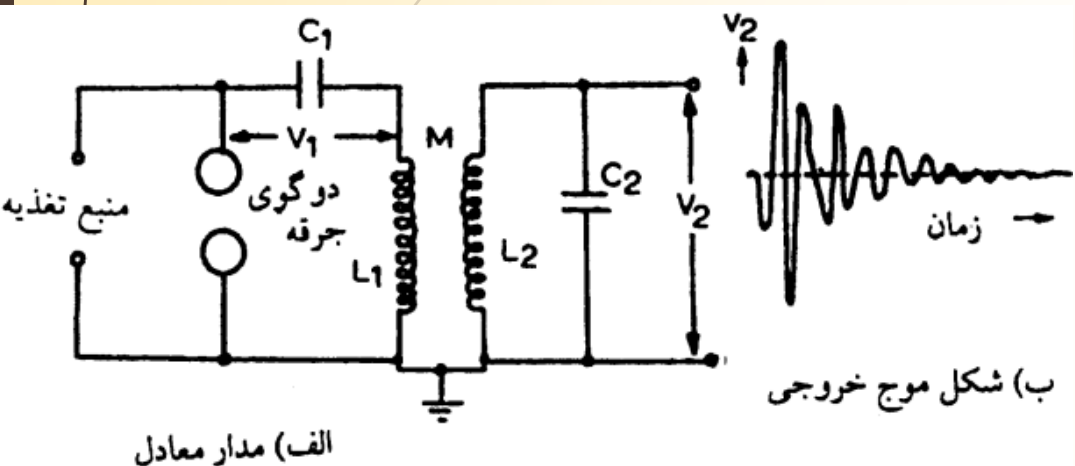
$$\omega_1 = \frac{1}{\sqrt{L_1 C_1}}, \quad \omega_2 = \frac{1}{\sqrt{L_2 C_2}}$$

ولتاژ خروجی در شکل (۱۹-۸) نشان داده شده است. دامنه حداکثر ولتاژ ثانویه (V_2) را می‌توان به صورت زیر بیان کرد.

$$V_{2max} = V_1 e \sqrt{\frac{L_1}{L_2}} \quad (34-8)$$

$$e = \frac{2\sqrt{1-\sigma}}{\sqrt{(1+a^2)-4\sigma a}}, \quad a = \frac{L_2 C_2}{L_1 C_1} = \frac{\omega_1^2}{\omega_2^2}$$

که،



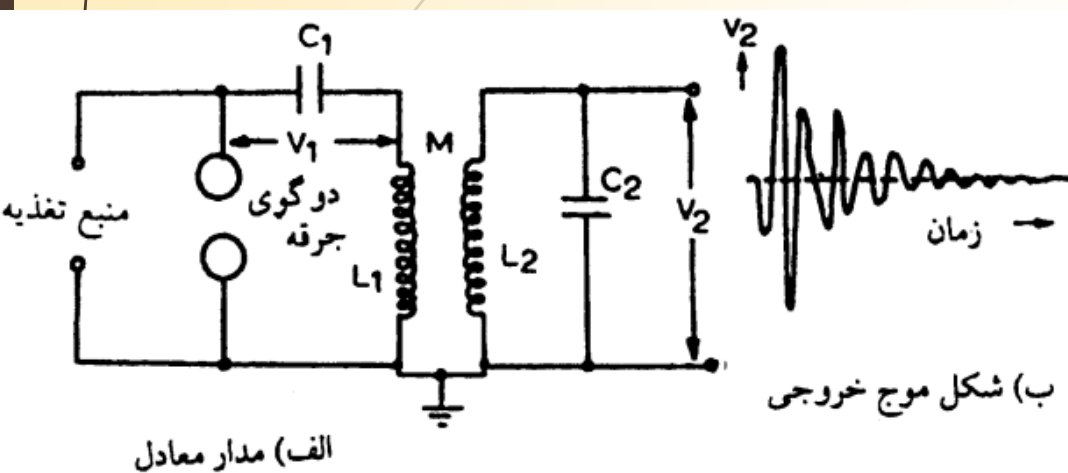
شکل (۱۹-۸): مدار معادل و شکل موج خروجی مدار سیم پیچ تسلا

مدار ارائه شده در شکل (۱۹-۸) را می‌توان به گونه‌ای ساده‌تر تحلیل کرد. انرژی ذخیره شده در مدار اولیه در خازن C_1 ، از طریق کوپلاژ مغناطیسی به C_2 منتقل می‌شود. اگر W_1 انرژی ذخیره شده در C_1 و W_2 انرژی ذخیره شده در C_2 بازدۀ ترانسفورماتور باشد آن‌گاه:

$$W_1 = \frac{1}{2} C_1 V_1^2 = \eta \left(\frac{1}{2} C_2 V_2^2 \right) \quad (35-8)$$

$$V_2 = \eta V_1 \sqrt{\frac{C_1}{C_2}} \quad (36-8)$$

می‌توان نشان داد که اگر ضریب کوپلاژ k بزرگ باشد، فرکانس نوسان کوچک خواهد بود و اگر مقدار مقاومت‌های سیم پیچ‌ها و k به اندازه کافی زیاد باشد، شکل موج به صورت یک پالس خواهد بود.

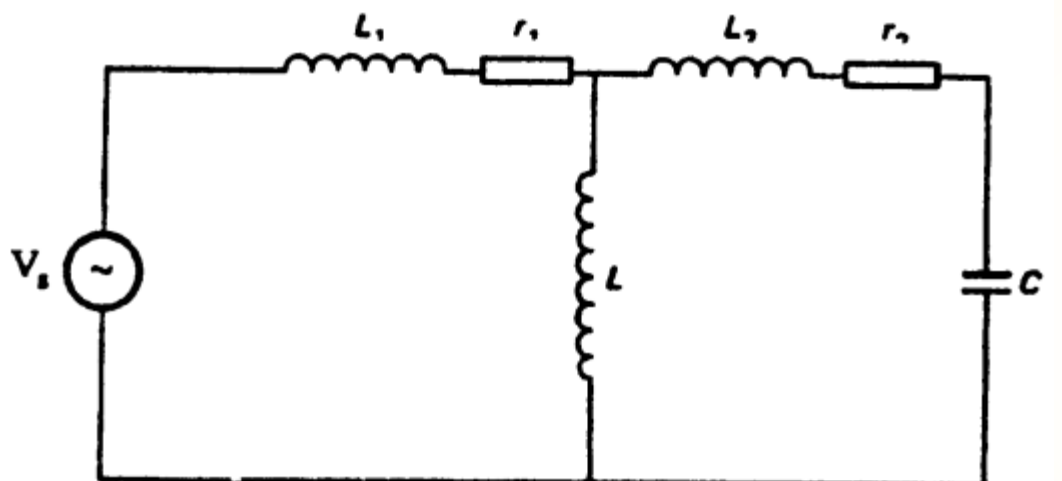


الف) مدار معادل

شکل (۱۹-۸): مدار معادل و شکل موج خروجی مدار سیم پیچ تسلی

مدار رزونانس برای تولید ولتاژ فشار قوی AC

مدار معادل یک ترانسفورماتور آزمایشگاهی یک مرحله‌ای برای تولید ولتاژ فشار قوی، شامل راکتانس‌های پراکنده‌ی سیم‌پیچ‌های آن، مقاومت‌های سیم‌پیچ‌ها و راکتانس مغناطیس‌کننده‌ی و خازن شنت معادل با عایق نمونه تحت آزمایش می‌باشد. شکل (۲۰-۸) بیانگر مدار معادل این مولّد می‌باشد.



شکل (۲۰-۸): مدار معادل رزونانس، مدار تولید ولتاژ AC

اگر این مدار معادل در شرایطی به حالت یک مدار رزونانس سری درآید، آن‌گاه دامنه ولتاژ دو سر خازن C می‌تواند به سادگی به چندین برابر دامنه ولتاژ V (ولتاژ ورودی منتقل شده به ثانویه ترانسفورماتور) درآید. با صرف نظر کردن از راکتانس مغناطیس‌کننده‌ی (بدلیل جریان ناچیز آن) در شرایط رزونانس سری و سرعت زاویه‌ای ω منبع، داریم:

$$X_C = X_L \quad (37-8)$$
$$\omega(L_1 + L_2) = \frac{1}{\omega C}$$

در این شرایط، جریان در عایق نمونه تحت ازمایش، بسیار زیاد می‌شود و تنها به وسیله مقاومت معادل مدار می‌تواند محدود شود. مقدار ولتاژ دو سر عایق نمونه (خازن C) برابر است با:

$$V_c = \left| \frac{-jV_s X_c}{R + j(X_L - X_c)} \right| = \frac{V_s X_c}{R} = \frac{V_s}{\omega R C}$$

در این حالت، ولتاژ دو سر عایق نمونه ممکن است به ۲۰ تا ۵۰ برابر ولتاژ فشار قوی ثانویه ترانسفورماتور برسد که مقدار آن، بستگی به ضریب کیفیت مدار دارد. این ضریب برابر است با:

$$Q = \frac{X_c}{R} = \frac{1}{\omega R C} \quad (38-8)$$

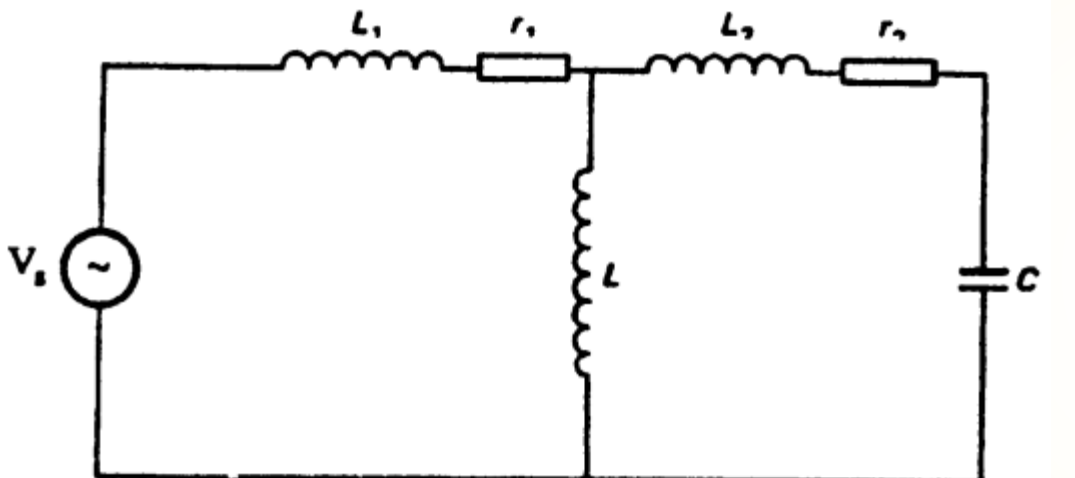
و ولتاژ دو سر عایق نمونه بر حسب کیفیت مدار برابر است با:

$$V_c = Q \cdot V_s \quad (39-8)$$

اگر ولتاژ مورد نیاز فشار قوی برای عایق نمونه V_c باشد و ضریب کیفیت مدار Q باشد، آنگاه ولتاژ منبع را باید به مقدار زیر تنظیم نمود:

$$V_s = \frac{V_c}{Q}$$

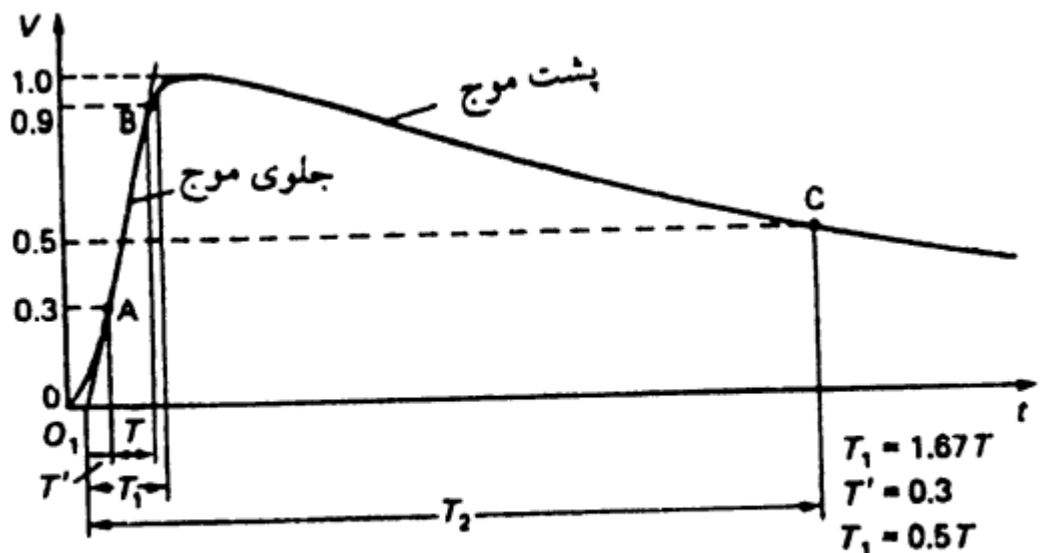
بنابراین، ولتاژ ورودی و KVA مورد نیاز به وسیله ضریب $\frac{1}{Q}$ تقلیل داده می‌شود.



شکل (۲۰-۸): مدار معادل رزونانس، مدار تولید ولتاژ AC

ولتاژ فشار قوی ضربه‌ای^(۱)

8



شکل (۲۳-۸): شکل موج ولتاژ ضربه

اضافه ولتاژهای ناگهانی و گذرا با دامنه‌های خیلی زیاد در اثر صاعقه‌های آسمانی و سوئیچینگ مانند باز و بسته کردن کلید قدرت و یا اتصال کوتاه روی خطوط انتقال به وجود می‌آیند. این اضافه ولتاژها به صورت یک موج ضربه‌ای غیرنوسانی ظاهر می‌شوند که در مدت زمان بسیار کوتاهی (در حدود چند میکرو ثانیه تا چند میلی ثانیه)، به مقدار دامنه خود می‌رسد و مقدار دامنه آن معمولاً تا چندین مگاولت هم رسیده است.. سپس موج ولتاژ تولید شده به صورت نمایی به صفر کاهش می‌یابد. برای آزمایش استقامت الکتریکی تجهیزات عایقی در برابر این اضافه ولتاژها، نیاز به تولید این نوع ولتاژ در آزمایشگاه‌های فشار قوی می‌باشد.

شکل (۲۳-۸)، یک موج ضربه‌ای را نشان می‌دهد. آن قسمت از موج که در حال صعود است به پیشانی موج^(۱) و آن قسمت که در حال نزول است به پشت موج^(۲) معروف است. اگرچه امواج ضربه‌ای صاعقه یا سوئیچینگ عملًا دارای اشکال متفاوتی هستند، اماً امروزه در آزمایشگاه‌ها آن‌ها را به شکل استاندارد تولید می‌کنند.

1- Impulse Voltage

1- Front of Wave

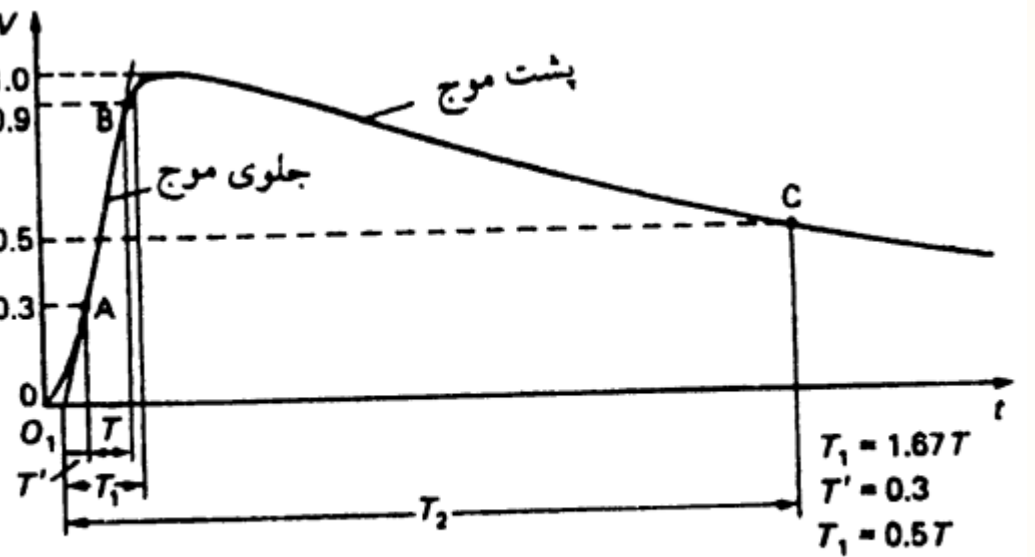
2- Tail of Wave

ولتاژهای فشار قوی زودگذر امواج صاعقه در خطوط انتقال، معمولاً دامنه بسیار بزرگی دارند. تحقیقات عملی نشان داده است که این امواج، با سرعت بسیار زیادی و در یک زمان صعود ۵/۰ تا ۱۰ میکروثانیه افزایش می‌یابند و با سرعت کمتری و در زمان‌های در حدود ۳۰ تا ۲۰۰ میکروثانیه به ۵۰٪ مقدار دامنه ولتاژ خود، افت پیدا می‌کنند. این موضوع نشان می‌دهد که امواج ولتاژ فشار قوی صاعقه را می‌توان به صورت دو موج نمایی، طبق رابطه زیر نشان داد:

$$V = V_0 \cdot (e^{-\alpha t} - e^{-\beta t}) \quad (41-8)$$

که α و β ثابت‌هایی با اندازه‌های میکروثانیه‌اند.

رابطه اخیر یک شکل موج غیریکنواخت را که یک شیب تند تا مقدار دامنه دارد و سپس به آهستگی به مقدار صفر سقوط می‌کند، نشان می‌دهد. شکل موج عمومی موج ضربه‌ای استاندارد صاعقه در شکل (۲۳-۸) نشان داده شده است. امواج ضربه با زمان صعود و زمان نزول یا نیم پشت موج (زمان رسیدن به ۵۰٪ مقدار دامنه ولتاژ) مشخص می‌شوند. بنابراین، موج ۱۰۰۰ kV با مشخصات $1/2/50 \mu\text{sec}$ ، یک موج ولتاژ ضربه با زمان صعود $1/2 \mu\text{sec}$ و زمان نزول $50 \mu\text{sec}$ و مقدار دامنه ۱۰۰۰ kV را نشان می‌دهد.



شکل (۲۳-۸): شکل موج ولتاژ ضربه

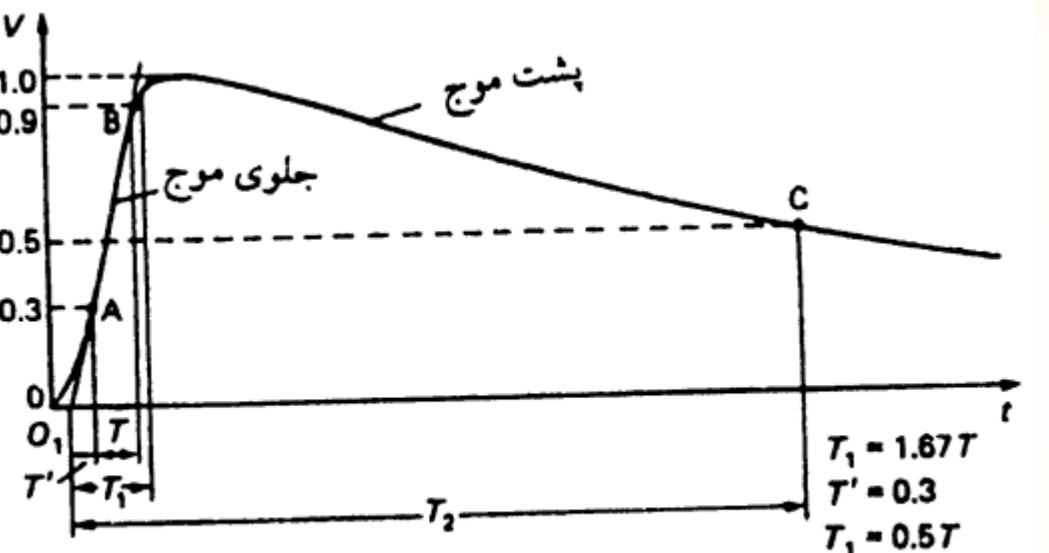
با مراجعه به شکل (۲۳-۸)، مقدار دامنه ولتاژ با مقدار $1/0$ در محور عمودی مشخص شده است و مقدار 100% را نشان می‌دهد. نقاطی که معادل 30% و 90% مقادیر دامنه ولتاژ در قسمت پیشانی موج می‌باشند با حروف A و B معین شده است. همچنین خط متصل کننده این نقاط تا قطع محور زمان در نقطه 0_1 ، کشیده شده است. در واقع، نقطه 0_1 ، مبدأ واقعی زمان موج ضربه‌ای می‌باشد. ادامه خط مذکور، محور افقی مماس بر دامنه موج ضربه‌ای را قطع می‌کند. فاصله زمانی تصویر این نقطه روی محور زمان تا نقطه 0_1 طبق استاندارد زمان پیشانی موج (T_1) می‌باشد. طبق استاندارد بین‌المللی IEC، مقدار زمان پیشانی موج یا T_1 برابر است با:

$$T_1 = 1/2 \pm 30\% \mu\text{sec} \quad (42-8)$$

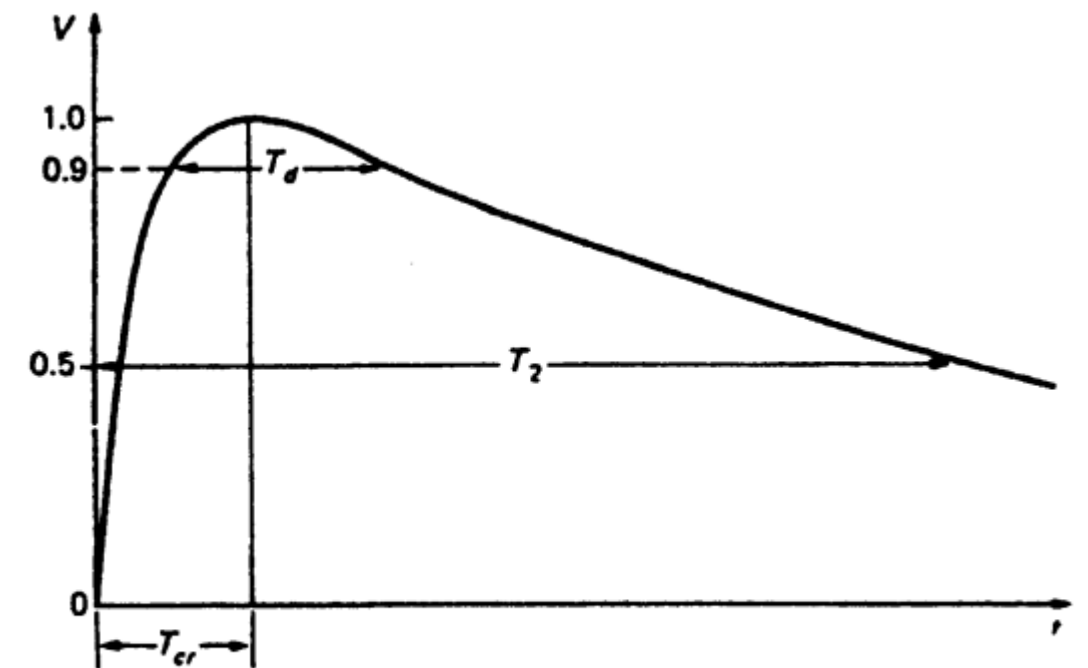
همچنین نقطه C روی قسمت نزولی موج، دارای ولتاژ معادل 50% مقدار دامنه ولتاژ موج ضربه‌ای است. فاصله زمانی تصویر این نقطه روی محور زمان تا نقطه 0_1 زمان نیم‌پشت موج یا زمان نزول موج (T_2) است که طبق استاندارد بین‌المللی IEC مقدار آن برابر است با:

$$T_2 = 50 \pm 20\% \mu\text{sec} \quad (43-8)$$

این موج را به اصطلاح، موج ضربه صاعقه $1/2/50\mu\text{sec}$ می‌نامند؛ یعنی زمان پیشانی موج برابر $1/2\mu\text{sec}$ و زمان نیم‌پشت موج برابر $50\mu\text{sec}$ است.



شکل (۲۳-۸): شکل موج ولتاژ ضربه



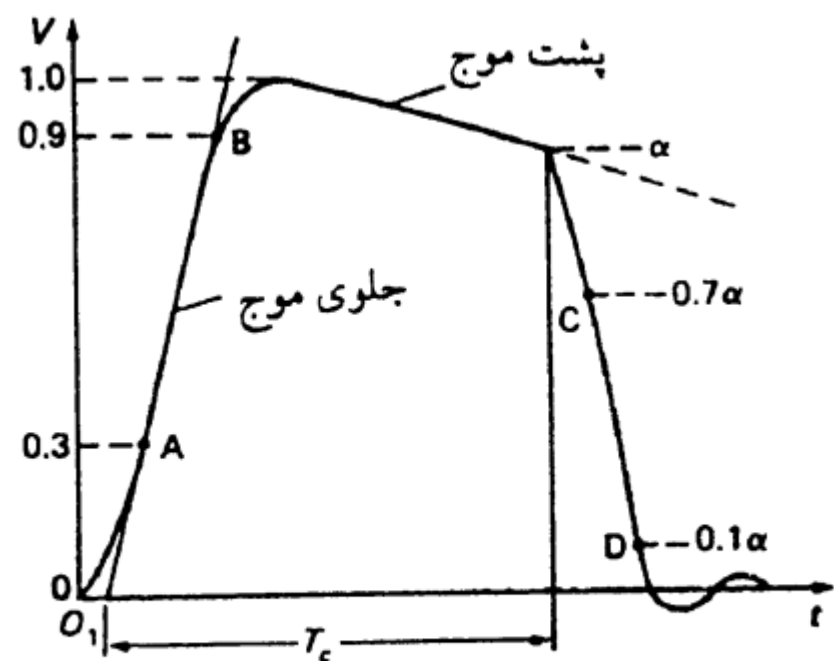
شکل (۲۴-۸): مشخصات موج ضربه سوئیچینگ

بر اثر نوسانات خط، در هنگام قطع و وصل کلیدها و یا به واسطه اتصال کوتاه، نوعی موج ضربه‌ای روی خط به وجود می‌آید که به آن، موج سوئیچینگ^(۱) می‌گویند. این نوع موج معمولاً طولانی‌تر از موج ضربه‌ای صاعقه است و به چند هزار میکروثانیه می‌رسد. همچنین ممکن است این موج به صورت مستطیل باشد، یعنی سریعاً بالا رفته، تقریباً مدتی ثابت بماند و سپس به سرعت کم شود. این وضعیت موقعی اتفاق می‌افتد که در زمان کوتاهی کلیدی وصل شده و فوراً قطع شود. در مورد این موج، چهار کمیت ذکر می‌شود که عبارتند از: سرعت بالا رفتن موج، مدت زمانی که، موج ۹۰٪ از حدّاًکثر خود را دارا باشد، زمان نیم‌پشت موج و مقدار دامنه ولتاژ موج. شکل موج این نوع موج ضربه‌ای در شکل (۲۴-۸) نشان داده شده است. در این شکل، طبق استاندارد بین‌المللی IEC داریم:

$$T_{cr} = 250 \pm 20 \mu\text{sec}$$

$$T_2 = 2500 \pm 60 \mu\text{sec}$$

زمان رسیدن موج از مبدأ به صد درصد دامنه در پشت موج $250/2500 \mu\text{sec}$ می‌نامند.



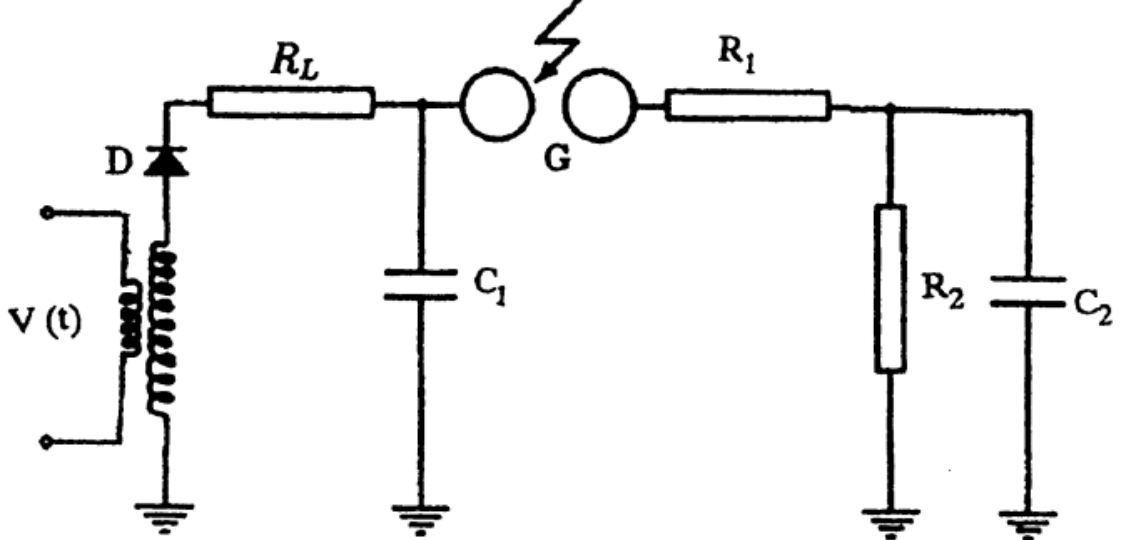
شکل (۲۵-۸): موج ضربه‌ای شکسته در زمان‌های مختلف

اگر موج ضربه‌ای یکباره یا با نوسان مختصری به صفر برسد، یک موج ضربه‌ای شکسته به دست می‌آید. این حالت مثل وضعیتی است که یک موج ضربه‌ای روی خط انتقال باعث ایجاد یک قوس الکتریکی بین خط و زمین شود که در نتیجه یک موج ضربه‌ای شکسته ایجاد می‌شود. در مورد این موج می‌توان کمیت دیگری را نیز بیان کرد که آن هم زمان شروع شکست است؛ زمان شروع شکست، فاصله تصویر این نقطه روی محور زمان تا نقطه t_c در مورد موج شکسته است. البته برای موج ضربه‌ای شکسته، زمان نیم‌پشت موج معنی ندارد و بنابراین، ذکر نمی‌شود. این موضوع در شکل (۲۵-۸)، قابل مشاهده می‌باشد.

1- Chopped Wave

مدار RC تولید ولتاژ ضربه‌ای

ساده‌ترین مدار برای تولید موج ضربه، شکل (۲۶-۸) می‌باشد که از دو مدار RC تشکیل شده است. در این مدار، ولتاژ ثانویه ترانسفورماتور فشار قوی (حداکثر 100kV)، توسط دیود یکسوکننده D یکسو شده و از طریق مقاومت بارگیری R_L موجب شارژ خازن C_1 می‌شود. به دلیل بالابودن مقادیر خازن C_1 و مقاومت R_L ثابت زمانی شارژ شدن، بالابوده و شارژ خازن C_1 در مدت زمان زیادی انجام می‌شود. پس از مدت نسبتاً طولانی که C_1 شارژ شد، ولتاژ آن به حدی می‌رسد که با توجه به فاصله تنظیم شده برای گوی‌های فلزی G در این مدار، بین آنها جرقه زده می‌شود. اکنون خازن C_2 از طریق R_1 شارژ می‌شود که این خازن، همان عایق تحت آزمایش است. در این مدار با توجه به اینکه $R_2 > R_1$ است، ثابت زمانی شارژ خازن C_2 از طریق مقاومت R_1 خیلی کوچک‌تر از ثابت زمانی تخلیه خازن‌های C_1 و C_2 روی مقاومت R_2 است؛ یعنی با توجه به اینکه مقاومت R_1 کوچک است، خازن C_2 سریع شارژ می‌شود. بنابراین، پس از یک الی دو میکروثانیه، ولتاژ دوسر خازن C_2 به حداکثر خود می‌رسد. سپس خازن‌های C_1 و C_2 از طریق مقاومت R_2 تخلیه



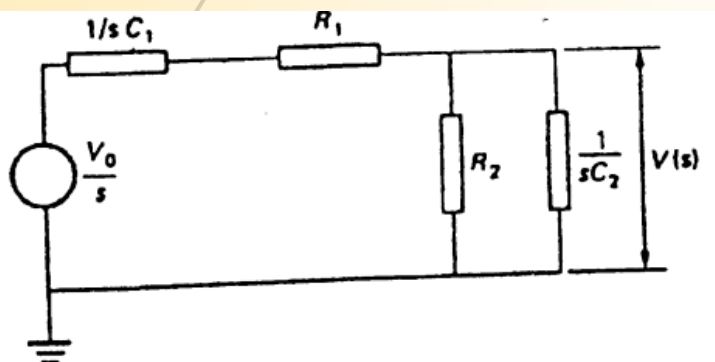
می‌شوند و ولتاژ دو سر خازن C_2 کاهش می‌یابد. با توجه به بزرگ بودن R_2 ، زمان تخلیه طولانی است. به این ترتیب مقاومت R_1 زمان پیشانی موج و مقاومت R_2 زمان پشت موج را کنترل می‌کند. اگر ولتاژ شارژ خازن C_1 هنگام جرقه زدن گوی‌های G (که مانند یک کلید حساس به ولتاژ عمل می‌کنند)، برابر V_0 باشد، با استفاده از تبدیل لاپلاس مدار، به تحلیل آن می‌پردازیم. مدار معادل در حوزه لاپلاس پس از وقوع جرقه بین گوی‌های G در شکل (۲۷-۸) آمده است. خازن C_1 پس از شارژ تا حد ولتاژ V_0 ، مانند یک باتری با ولتاژ V_0 و با امپدانس داخلی معادل خازن C_1 است. جریان کلی این مدار، $I(t)$ و ولتاژ خروجی آن $V(t)$ است.

در این مدار روابط زیر حاکم است:

$$Z_1(s) = R_1 + \frac{1}{sC_1}, \quad Z_2(s) = \frac{R_2}{R_2 + \frac{1}{sC_2}}$$

$$I(s) = \frac{\frac{V_0}{s}}{Z_1 + Z_2}$$

$$V(s) = Z_2(s) I(s) = \frac{\left(\frac{V_0}{s} \frac{R_2}{sC_2} \right) / \left(R_2 + \frac{1}{sC_2} \right)}{R_1 + \frac{1}{sC_1} + \frac{R_2/(sC_2)}{R_2 + 1/(sC_2)}}$$



شکل (۲۷-۸): مدار معادل مولد ولتاژ ضربه، پس از جرقه زدن گوی‌های فلزی G

$$V(s) = \frac{\frac{V_0}{S} \frac{R_1}{S C_1}}{R_1 R_2 + \frac{R_1}{S C_1} + \frac{R_2}{S C_2} + \frac{1}{S^2 C_1 C_2} + \frac{R_1}{S C_2}}$$

صورت و مخرج رابطه بالا را در $\frac{SC_2}{R_2}$ ضرب مى کنیم:

$$V(s) = \frac{V_0}{S} \frac{1}{S C_2 R_1 + \frac{C_2}{C_1} + \frac{R_1}{R_2} + \frac{1}{S C_1 R_2} + 1}$$

در مخرج رابطه اخير، مقدار $R_1 C_2$ را فاكتور مى گيریم:

$$V(s) = \frac{V_0}{R_1 C_2 S^2 + \left(\frac{1}{R_1 C_1} + \frac{1}{R_2 C_2} + \frac{1}{R_1 C_2} \right) S + \frac{1}{R_1 R_2 C_1 C_2}} \quad (44-8)$$

با فرض مقادير زير،

$$K = R_1 C_2, \quad a = \frac{1}{R_1 C_1} + \frac{1}{R_2 C_2} + \frac{1}{R_1 C_2}, \quad b = \frac{1}{R_1 R_2 C_1 C_2}$$

خواهيم داشت:

$$V(s) = \frac{V_0}{K} \frac{1}{S^2 + aS + b} \quad (45-8)$$

برای به دست آوردن ریشه های مخرج می توان نوشت:

$$S^2 + aS + b = 0$$

$$\alpha_1, \alpha_2 = \frac{-a \pm \sqrt{a^2 - 4b}}{2}$$

با توجه به مقادیر مثبت a و b ، مقادیر α_1 و α_2 کوچکتر از صفر هستند. رابطه (۴۵-۸) را می توان به صورت زیر در آورد:

$$V(s) = \frac{V_0}{K} \frac{1}{(s - \alpha_1)(s - \alpha_2)} \quad (46-8)$$

با استفاده از عکس تبدیل لاپلاس خواهیم داشت:

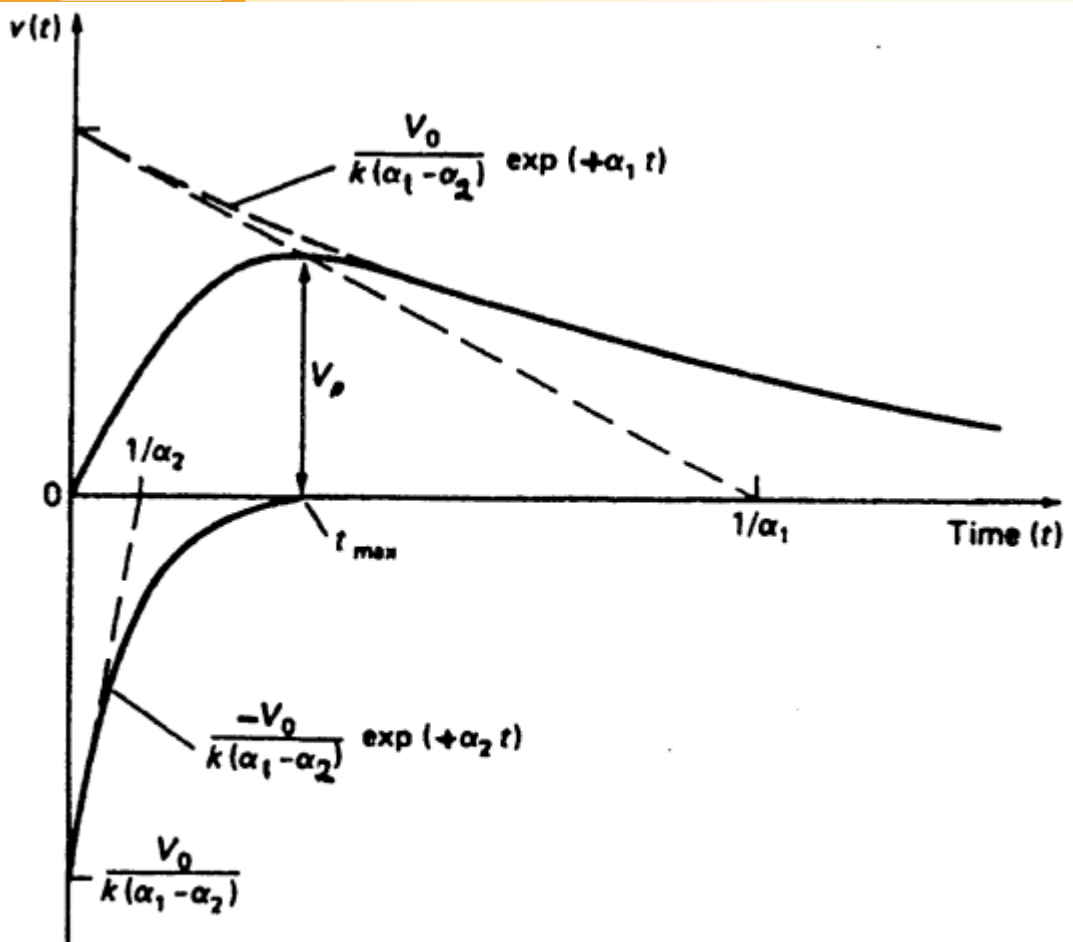
$$V(t) = \frac{V_0}{K} \frac{1}{\alpha_1 - \alpha_2} \left(e^{\alpha_1 t} - e^{\alpha_2 t} \right) \quad (47-8)$$

بنابراین، ولتاژ خروجی از جمع دو تابع نمایی با علامت های مختلف به دست می آید که ثابت زمانی هر کدام برابر است با:

$$\tau_1 = \frac{1}{|\alpha_1|} \quad \text{و} \quad \tau_2 = \frac{1}{|\alpha_2|} \quad (48-8)$$

با توجه به این که $|\alpha_1| > |\alpha_2|$ است در نتیجه $\tau_2 > \tau_1$ است؛ یعنی ثابت زمانی تابع نمایی اولی بیشتر از ثابت زمانی تابع نمایی دومی است. منحنی این دو تابع در شکل (۲۸-۸) قابل مشاهده است. اگرnon با انتخاب مناسب پارامترهای مدار، می توان شکل موج ضربه ای دلخواه را به دست آورد.

16



شکل (۲۸-۸): موج ولتاژ ضربه تولید شده

بازده مدار مولّد ولتاژ ضربه‌ای به صورت زیر تعریف می‌شود:

$$\eta = \frac{V_p}{V} \quad (49-8)$$

بدیهی است که V_p کمتر از ولتاژ V است. در نتیجه، بازده مدار کمتر از ۱۰۰٪ است. مقدار ولتاژ V_p را می‌توان با مشتق‌گیری از رابطه (۴۷-۸) به صورت زیر به دست آورد.

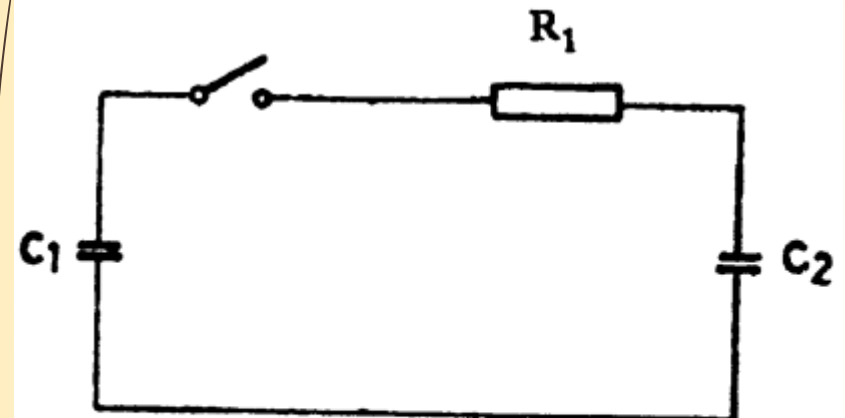
$$\frac{dV_{(t)}}{dt} = 0 \Rightarrow \frac{V}{K} \frac{1}{\alpha_1 - \alpha_2} \left[\alpha_1 e^{\alpha_1 t_{max}} - \alpha_2 e^{\alpha_2 t_{max}} \right] = 0$$

در نتیجه،

$$\frac{\alpha_1}{\alpha_2} = \frac{e^{\alpha_2 t_{max}}}{e^{\alpha_1 t_{max}}}$$

$$t_{max} = \frac{\ln(\alpha_1/\alpha_2)}{\alpha_2 - \alpha_1} \quad (50-8)$$

و در نتیجه ولتاژ V_p و بازده مدار مولّد، قابل محاسبه هستند.



شکل (۲۹-۸): مدار شارژ خازن

$$V_p = \frac{V_0}{K} \frac{1}{\alpha_1 - \alpha_2} \left[\left(\frac{\alpha_1}{\alpha_2} \right)^{\frac{\alpha_1}{\alpha_2 - \alpha_1}} - \left(\frac{\alpha_1}{\alpha_2} \right)^{\frac{\alpha_2}{\alpha_2 - \alpha_1}} \right] \quad (51-8)$$

$$\eta = \frac{V_p}{V_0} = \frac{1}{K(\alpha_1 - \alpha_2)} \left[\left(\frac{\alpha_1}{\alpha_2} \right)^{\frac{\alpha_1}{\alpha_2 - \alpha_1}} - \left(\frac{\alpha_1}{\alpha_2} \right)^{\frac{\alpha_2}{\alpha_2 - \alpha_1}} \right] \quad (52-8)$$

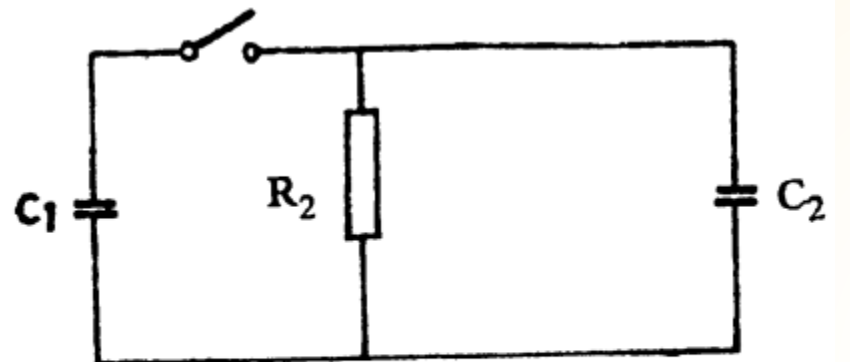
همچنین می‌توان زمان رسیدن موج به 0.50% مقدار دامنه آن را در پشت موج محاسبه نمود.

در مدارهای موج ضربه‌ای و در شرایط عملی، روابط $C_2 \ll C_1, R_2 \ll R_1$ و حاکم می‌باشد. در نتیجه برای مدار شارژ خازن C_2 از طریق مقاومت R_1 و خازن C_1 شکل (۲۹-۸) حاصل می‌شود. ثابت‌زمانی شارژ خازن C_2 در این مدار به صورت زیر محاسبه می‌شود.

$$\tau_2 = \frac{1}{|\alpha_2|} = R_1 \frac{C_1 C_2}{C_1 + C_2} = R_1 \frac{C_2}{1 + C_2/C_1} \quad (53-8)$$

با توجه به رابطه $C_2 \gg C_1$ به صورت تقریبی می‌توان نوشت:

$$\Rightarrow \tau_2 = \frac{1}{|\alpha_2|} \simeq R_1 C_2 \quad (54-8)$$



شکل (۳۰-۸): مدار تخلیه خازن‌های C_1 و C_2

چون ظرفیت خازنی C_2 (عایق نمونه تحت آزمایش) ثابت و غیر قابل کنترل است، بنابراین، فقط با تغییر مقاومت R_1 ، ثابت زمانی τ_2 کنترل می‌شود. ثابت زمانی شارژ خازن (τ_2) متناسب با زمان رسیدن موج به مقدار حدّاًکثر (یعنی متناسب با زمان جلوی موج) است. بنابراین، با تغییر مقاومت R_1 ، زمان جلوی موج کنترل می‌شود.

مقادیر τ_2 برای موج‌های استاندارد ضربه‌ای برابر است با:

$$\tau_2 = 0.405 \mu\text{sec} \quad 1/2/50 \mu\text{sec}$$

$$\tau_2 = 62.5 \mu\text{sec} \quad 250/2500 \mu\text{sec}$$

برای تخلیه خازن‌های C_1 و C_2 در مقاومت R_2 ، مدار شکل (۳۰-۸) را می‌توان ارائه داد. در این مدار، ثابت زمانی تخلیه خازن‌های C_1 و C_2 در مقاومت R_2 برابر است با:

$$\tau_1 = \frac{1}{|\alpha_1|} = R_2(C_1 + C_2) \quad (55-8)$$

با توجه به این‌که $C_1 > C_2$ است، از این‌رو، داریم:

$$\tau_1 = \frac{1}{|\alpha_1|} \approx R_2 C_1 \quad (56-8)$$

در اینجا نیز ظرفیت خازنی C_1 در ساختمان مولّد، مقدار ثابتی دارد و قابل تغییر

نیست. بنابراین، فقط با تغییر مقاومت R_2 ، ثابت زمانی τ_1 قابل کنترل است. ثابت زمانی تخلیه خازن‌ها (τ_2)، متناسب با زمان نزول موج از مقدار حدّاًکثر است (یعنی متناسب با زمان نیم‌پشت موج است). بنابراین، با تغییر مقاومت R_2 زمان نیم‌پشت موج کنترل می‌گردد. مقدار C_1 برای دو موج استاندارد به صورت زیر است.

$$\text{برای موج استاندارد } \tau_1 = 68/2 \mu\text{sec} \quad 1/2/50 \mu\text{sec}$$

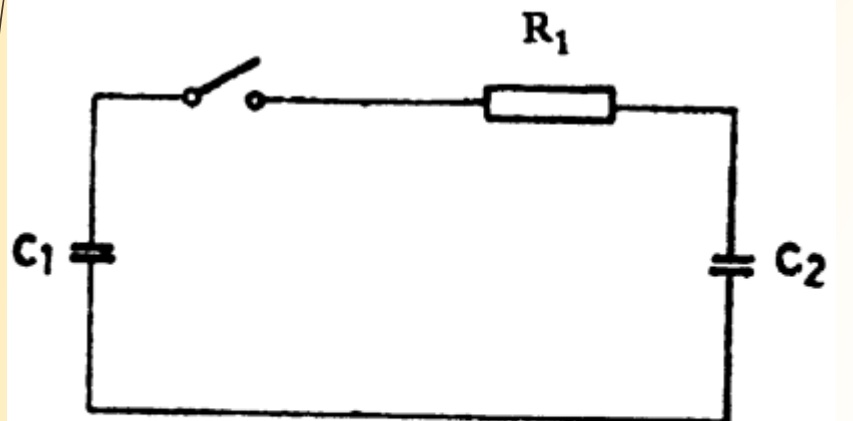
$$\text{برای موج استاندارد } \tau_1 = 3155 \mu\text{sec} \quad 250/2500 \mu\text{sec}$$

ظرفیت مولّد C_1 و ظرفیت بار C_2 بسته به طرّاحی مدار و موضوع آزمایش ثابت خواهد بود. از این‌رو شکل موج درخواستی فقط با کنترل و تغییر مقادیر R_1 و R_2 حاصل خواهد شد.

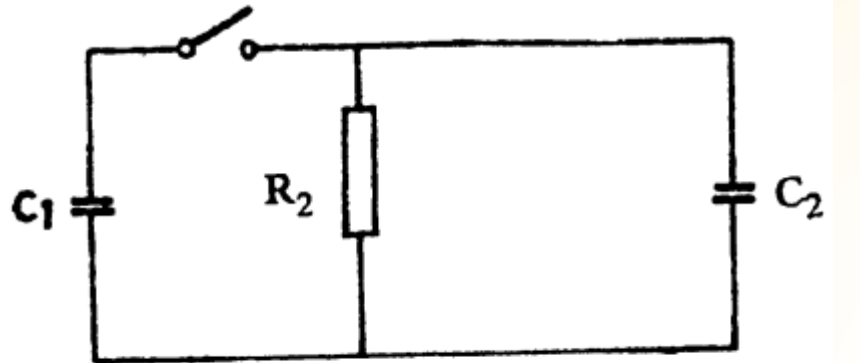
لازم به ذکر است که در مدار شکل (۲۹-۸)، خازن C_1 ، خازن C_2 را از طریق R_1 شارژ می‌کند. زمان لازم برای شارژ خازن C_2 به طور تقریبی ۳ برابر ثابت زمانی مدار شارژ است و به وسیلهٔ معادلهٔ زیر محاسبه می‌شود:

$$\tau_1 = 3R_1 \frac{C_1 C_2}{C_1 + C_2} = 3R_1 C_e \quad \text{و} \quad C_e = \frac{C_1 C_2}{C_1 + C_2} \quad (57-8)$$

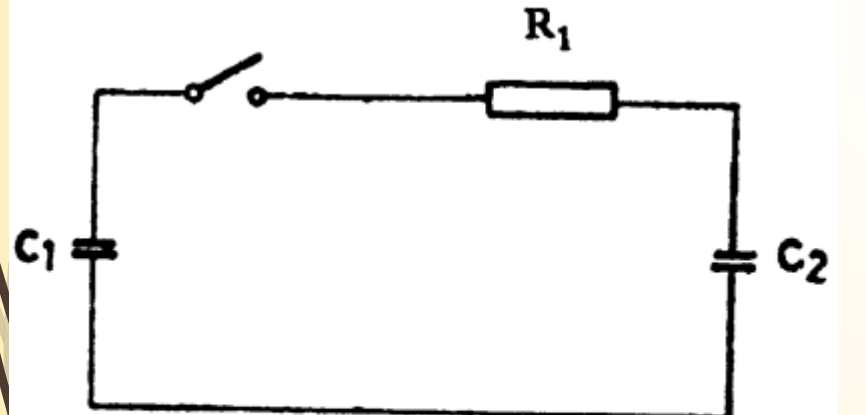
اگر R_1 بر حسب اهم و C_e بر حسب میکروفاراد باشد، در نتیجه τ_1 بر حسب میکروثانیه خواهد بود.



شکل (۲۹-۸): مدار شارژ خازن C_2



شکل (۳۰-۸): مدار تخلیه خازن‌های C_1 و C_2



شکل (۲۹-۸): مدار شارژ خازن C_2

برای زمان دشارژ یا زمان پشت موج، خازن‌های C_1 و C_2 به صورت موازی در نظر گرفته می‌شوند که از طریق مقاومت‌های R_1 و R_2 دشارژ می‌شوند (شکل ۳۰-۸). از این روزمان ۵۰٪ دشارژ به طور تقریبی با رابطه زیر تعیین می‌شود:

$$\tau_2 = \frac{1}{V} (R_1 + R_2) (C_1 + C_2) \quad (58-8)$$

در دو رابطه اخیر، مقادیر τ_1 و τ_2 برای مدارهای معادل در شکل‌های (۲۹-۸) و (۳۰-۸) مشخص شده است. با استفاده از روابط تقریبی، زمان‌های جلوی موج و پشت موج برای ضربه‌های ضربه را می‌توان در محدوده ۲۰٪ ± از موج ضربه استاندارد تخمین زد. دامنه موج ضربه‌ای تولیدی را می‌توان با تغییر فاصله هوایی گوی‌های فلزی G کنترل نمود. هر چقدر فاصله هوایی گوی‌های فلزی G بیشتر شود، خازن C_1 امکان شارژ با ولتاژ V بالاتری را پیدا می‌کند و بنابراین، جرقه و برقراری اتصال بین گوی‌ها در ولتاژ بالاتر خواهد بود. در نتیجه، دامنه ولتاژ ضربه‌ای تولیدی بیشتر می‌شود. البته ولتاژ نامی خازن C_1 مقدار ولتاژ شارژ V آن را محدود می‌کند.